

Выражаю глубокую признательность А. М. Дыхне, Б. Я. Балагурову, И. М. Томчуку и А. Я. Шику за обсуждение работы.

## Л и т е р а т у р а

- [1] Дыхне А. М. — ЖЭТФ, 1970, т. 59, в. 7, с. 110—115.
- [2] Дыхне А. М. — ЖЭТФ, 1970, т. 59, в. 2, с. 641—647.
- [3] Балагуров Б. Я. — ЖЭТФ, 1983, т. 85, в. 2, с. 580—584.
- [4] Efros A. L., Shklovskii B. I. — Phys. St. Sol. (b), 1976, v. 76, N 2, p. 475—485.
- [5] Шкловский Б. И., Эфрос А. Л. Электронные свойства легированных полупроводников. М., 1979. 416 с.
- [6] Шкловский Б. И. — ЖЭТФ, 1977, т. 72, в. 1, с. 288—295.
- [7] Bate R. T., Bell J. C., Beer A. C. — J. Appl. Phys., 1961, v. 32, N 5, p. 806—814.
- [8] Lippman H. J., Kuhrt F. — Z. Naturforsch., 1958, v. 13a, N 6, p. 462—474.
- [9] Скал А. С. — ЖЭТФ, 1981, т. 51, в. 11, с. 2443—2445.
- [10] Fogelholm R., Grimvall G. — J. Phys. C, 1983, v. 16, N 3, p. 1077—1084.
- [11] Söderberg M., Grimvall G. — J. Phys. C, 1983, v. 16, N 3, p. 1085—1088.
- [12] Снарский А. А. — ЖЭТФ, 1986, т. 91, в. 4, с. 1405—1410.
- [13] Снарский А. А. — ФТП, 1987, т. 21, в. 10, с. 1877—1881.
- [14] Балагуров Б. Я. — ФТТ, 1986, т. 28, в. 7, с. 2068—2074.

Киевский политехнический  
институт им. 50-летия  
Великой Октябрьской социалистической  
революции

Получено 8.02.1988  
Принято к печати 10.05.1988

ФТП, том 22, вып. 11, 1988

## ЭФФЕКТ УВЛЕЧЕНИЯ ПРИ ТРЕХФОТОННОМ ПОГЛОЩЕНИИ СВЕТА В КРИСТАЛЛАХ ТИПА ГЕРМАНИЯ

Расулов Р. Я.

Новый тип нелинейного поглощения света в полупроводниках, связанного с совокупностью одновременно идущих  $n$ -фотонных оптических переходов, был недавно обнаружен в  $p$ -Ge с использованием мощного импульсного лазера на  $\text{NH}_3$  с оптической накачкой ( $\lambda = 90.55 \text{ мкм}$ ,  $\hbar\omega = 13.7 \text{ мэВ}$ ) [1].

В [2] построена теория многофотонного поглощения в полупроводниках с вырожденной валентной зоной (типа зоны  $\Gamma_8^+$  в Ge или зоны  $\Gamma_8$  в GaAs) при произвольной интенсивности возбуждающего света. Одновременно было проведено вычисление по теории возмущений тока увлечений фотонами при одно- и двухквантовых прямых оптических переходах носителей между подзонами тяжелых и легких дырок в зоне  $\Gamma_8^+$  или  $\Gamma_8$ . При этом было показано, что из-за различия знака одно- и двухквантового вкладов фототок увлечения меняет знак с ростом интенсивности в соответствии с экспериментальными данными [2, 3].

Представляет интерес проанализировать влияние процессов поглощения более высокого порядка на точку инверсии, т. е. на значение интенсивности света, при котором наблюдается инверсия знака тока увлечения.

В связи с этим рассмотрим эффект увлечения в кристаллах типа германия или арсенида галлия, возникающий при трехфотонном поглощении света и обусловленный увлечением свободных носителей фотонами (трехфотонный эффект увлечения, или ТЭУ).

Плотность тока ТЭУ в приближении времени релаксации определяется соотношением

$$j = -e \sum_{\substack{k, m' = \pm s/2 \\ m = \pm l/2}} [v_{1k} \tau_{1k} W_{1m'k; 2m, k-3q} - v_{2k} \tau_{2k} W_{1m', k+3q; 2mk}], \quad (1)$$

где  $q$  — волновой вектор фотона,  $e$  — элементарный заряд ( $e > 0$ ),  $v_{ik}$  — групповая скорость электронов ветви  $l$ ,  $\tau_{ik}$  — время релаксации импульса дырок ветви  $l$ ,  $W_{n'k', nk}$  — вероятность (в единицу времени) оптического перехода электронов из состояния  $(n, k)$  в  $(n', k')$ ,  $k$  — волновой вектор электрона,  $n \equiv (l, m)$ ,  $l$  — индекс подзоны легких ( $l=2$ ) и тяжелых ( $l=1$ ) дырок,  $m$  — индекс вырожденных состояний электронов в каждой подзоне (как и в [2], используется электронное представление).

В дальнейшем рассмотрим трехфотонное поглощение линейно поляризованного света при переходах электронов между ветвями легких и тяжелых дырок зоны  $\Gamma_8^+$  полупроводников типа германия при условии  $3\hbar\omega \gg \Delta_{co}$ ,  $E_g$ , где  $E_g$  — ширина запрещенной зоны,  $\Delta_{co}$  — энергия спин-орбитального расщепления валентной зоны. Это позволяет при расчете составных матричных элементов трехфотонных оптических переходов ( $M^{(3)}$ ) в методе эффективного гамильтонiana ограничиться лишь переходами через виртуальные состояния в пределах той же зоны  $\Gamma_8^+$ . Тогда с учетом волнового вектора фотона в законах сохранения энергии и импульса имеем

$$M_{1m'k; 2m, k-3q}^{(3)} = \sum_{n_1, n_2} \frac{M_{1m'k; n_1, k-q}^{(1)} M_{n_2, k-q; n_1, k-2q}^{(1)} M_{n_1, k-2q; 2m, k-3q}^{(1)}}{(E_{l_1, k-q} - E_{2, k-3q} - 2\hbar\omega)(E_{l_1, k-2q} - E_{2, k-3q} - \hbar\omega)} - \\ - \left(\frac{eA_0}{c\hbar}\right)^2 \sum_{n_1} \left( \frac{M_{1m'k; n_1, k-q} \mathcal{H}(e)_{n_1, k-q; 2m, k-3q}}{E_{l_1, k-q} - E_{2, k-3q} - 2\hbar\omega} + \frac{\mathcal{H}(e)_{1m'k; n_1, k-2q} M_{n_1, k-2q; 2m, k-3q}^{(1)}}{E_{l_1, k-2q} - E_{2, k-3q} - \hbar\omega} \right). \quad (2)$$

Здесь

$$\mathcal{H}(e)_{n'k', nk} = \hat{C}_{n'k'}^\dagger \mathcal{H}(e) \hat{C}_{nk},$$

$\hat{C}_{nk}$  — собственные столбцы эффективного гамильтонiana электронов в зоне  $\Gamma_8^+$  ( $\Gamma_8$ ),

$$\mathcal{H}(k) = (A + \frac{5}{4}B)k^2 - B(Jk)^2, \quad (3)$$

матричный элемент оператора однофотонного возмущения

$$M_{n'k', nk}^{(1)} = \left(\frac{eA_0}{c\hbar}\right) \hat{C}_{n'k'}^\dagger \left[ e \nabla_k \mathcal{H}(k) + i \frac{\hbar^2}{2m_0} g J(q \times e) \right] \hat{C}_{nk}, \quad (4)$$

$g$  —  $g$ -фактор электрона в валентной зоне,  $\mathbf{v} = \frac{1}{\hbar} \nabla_k \mathcal{H}(k)$  — оператор скорости,  $J_s$  ( $s=x, y, z$ ) — матрицы оператора углового момента в базисе Латтинжера-Кона [1],  $e$  — вектор поляризации,  $A_0$  — амплитуда векторного потенциала световой волны (выражение для  $M_{1m', k+3q; 2m'k}^{(3)}$  определяется аналогично).

В базисе (3)

$$E_{lk} = -\hbar^2 k^2 / (2m_l), \quad (5)$$

где  $\hbar^2/(2m_1) = -(A-B)$ ,  $\hbar^2/(2m_2) = -(A+B)$ ,  $m_2$  и  $m_1$  — эффективные массы легких и тяжелых дырок в зоне  $\Gamma_8^+$ .

В рассматриваемом нами случае слагаемые в (2), пропорциональные  $\mathcal{H}(e)_{n'k', nk}$ , описывают процесс трехфотонного поглощения света, в одном из которых поглощаются одновременно два фотона: либо в начале (второе слагаемое), либо в конце (третье слагаемое) процесса. Второе слагаемое в (4) появилось за счет учета вклада в матричный элемент однофотонного перехода взаимодействия магнитного поля с угловым моментом электронов зоны  $\Gamma_8^+$ .

Дальнейшие расчеты производим подобно [2]. Выражение для вклада свободных дырок ветви  $l$  в плотность тока ТЭУ можно записать в виде

$$j_{l, s} = -(-1)^l e \frac{3\hbar q}{m_1 - m_2} \left(\frac{I}{\hbar\omega}\right)^2 K^{(3)}_{-l} (E_l^{(3)}) (U_{s, l} + U'_{s, l}) \left(\frac{e^2}{c\hbar}\right)^2 \frac{\hbar^2}{n_{\omega}^2 m^4}, \quad (6)$$

где  $E_l^{(3)} = 3\hbar\omega_m m_l^{-1}$ ,  $m^{-1} = m_2^{-1} - m_1^{-1}$ ,

$$K^{(3)} = \frac{e^2 k_8}{cn_{\omega} \hbar} e^{(\chi - E_l^{(3)})/k_B T} (1 - e^{-3\hbar\omega/k_B T})$$

— коэффициент трехфотонного поглощения света при прямых оптических переходах дырок между ветвями зоны  $\Gamma_8^+$ ,  $\lambda$  — химический потенциал дырок,  $n_\omega$  — коэффициент преломления света на частоте  $\omega$ ,  $k_3 = (6\mu\omega\hbar^{-1})^{1/2}$ .

Величина  $U_{3,1}$  в (6) описывает ТЭУ в пренебрежении зависимостью трехфотонного составного матричного элемента (2) от волнового вектора фотона, определяется формулой

$$U_{3,1} = a_3 \left[ b_3 + c_3 \left( \frac{\partial \ln \tau_l(E)}{\partial \ln E} - \frac{E}{k_B T} \right) \right] \Big|_{E=E_l^{(3)}}, \quad (7)$$

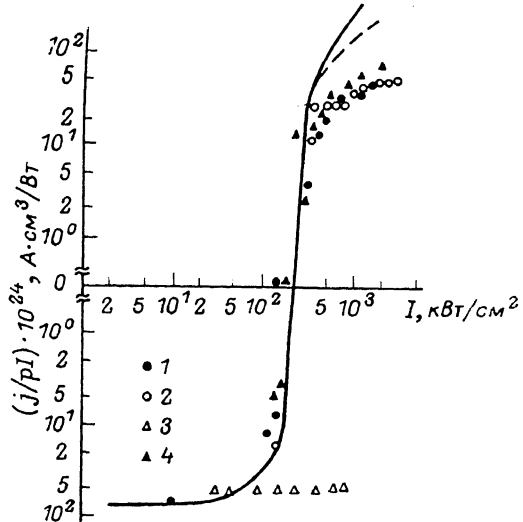
где  $a_3 = -6\pi^2/35$ ,  $b_3 = 625$ ,  $c_3 = 138$ .

Величина  $U'_{3,1}$  в (6) учитывает зависимость составного матричного элемента  $M_{n'k',nk}^{(3)}$  от  $\mathbf{q}$  и определяется соотношениями

$$\begin{aligned} U'_{3,1} &= -\pi^2 \frac{m_1 m_2^2}{\mu^3} (8.7 + 4.1b), \\ U'_{3,2} &= \pi^2 \frac{m_1^3 m_2}{\mu^3} (2.0 - 4.1b), \end{aligned} \quad (8)$$

где  $b = -g\mu/m_0$ .

Как и в [1], для сравнения теоретической и экспериментальной зависимостей тока увлечения от интенсивности возбуждающего света учитывалось три механизма рассеяния дырок на акустических и оптических фонах, а также на ионизированных примесях и выбирались следующие значения величин Ge:  $m_1 = -0.33m_0$ ,  $m_2 = 0.045m_0$ ,  $g = -6.8$ , акустическая длина  $l_a = 4.3 \times 10^{-3}$  см, скорость звука  $C_s = 5.2 \times 10^5$  см/с, плотность  $\rho = 5.3$  г/см<sup>3</sup>,



Зависимость тока увлечения  $j$ , нормированного на интенсивность возбуждающего света  $I$  при комнатной температуре.

Сплошная кривая и точки 1—4 — теоретическая и экспериментальная зависимости  $j(I)$ , полученные в [2], штриховая кривая — наш результат.

константа взаимодействия  $E_{opt}^2 = 11.42$  эВ<sup>2</sup>,  $\hbar\omega_{opt} = 37$  мэВ, статическая диэлектрическая проницаемость  $\epsilon_0 = 16$ , концентрация примесей  $N \sim 10^{15}$  см<sup>-3</sup>, длина волны света  $\lambda = 90.55$  мкм ( $\hbar\omega = 13.7$  мэВ).

Расчеты показывают, что для первого и второго механизмов рассеяния вклад легких дырок не превышает 20 и 6 % соответственно, а при рассеянии на ионизированных примесях основной вклад в ток увлечения дают легкие дырки. Во всех трех случаях направления потоков легких и тяжелых дырок противоположны. Для первого и второго механизмов рассеяния результирующий ток увлечения, связанный с трехфотонным поглощением света, имеет отрицательный знак, а в третьем — положительный. Это связано с тем, что с переходом от одного механизма к другому изменяются соотношения между временами релаксации импульса легких и тяжелых дырок, а значит, и их вклад в общий ток трехфотонного эффекта увлечения.

Расчет показывает, что учет вклада тока ТЭУ в общий фототок приводит к незначительному (всего лишь на  $\sim 1$  кВт/см<sup>2</sup>) уменьшению интенсивности  $I^{(0)}$ , при которой происходит смена знака тока увлечения электронов фотонами в  $p$ -Ge при  $T = 300$  К.

Ход зависимости тока увлечения от интенсивности как в области  $I \sim I^{(0)}$ , так и в области большей интенсивности ( $I > I^{(0)}$ ) находится в хорошем согласии с экспериментальными (см. рисунок).

Автор искренне благодарен Е. Л. Ивченко за полезные обсуждения.

## Л и т е р а т у р а

- [1] Ганичев С. Д., Емельянов С. А., Ивченко Е. Л., Перлин Е. Ю., Ярошецкий И. Д. — Письма ЖЭТФ, 1983, т. 37, в. 10, с. 479—481.
- [2] Ганичев С. Д., Емельянов С. А., Ивченко Е. Л., Перлин Е. Ю., Терентьев Я. В., Федоров А. В., Ярошецкий И. Д. — ЖЭТФ, 1986, т. 91, в. 4 (10), с. 1233—1248.
- [3] Бир Г. Л., Пикус Г. Е. Симметрия и деформационные эффекты в полупроводниках. М., 1972. 584 с.

Ферганский государственный  
педагогический институт  
им. Улугбека

Получено 26.02.1988  
Принято к печати 16.05.1988

ФТП, том 22, вып. 11, 1988

## СЛАБОЕ ПОГЛОЩЕНИЕ МИЛЛИМЕТРОВЫХ ВОЛН И ПРЫЖКОВАЯ ПРОВОДИМОСТЬ В СЛАБО ЛЕГИРОВАННОМ КРЕМНИИ

Городецкий М. Л., Ильченко В. С., Саава С. Э.

Электропроводность полупроводников на переменном токе в области низких температур, обусловленная прыжковым механизмом движения электронов по парам локализованных состояний [1], широко исследовалась контактными методами на радиочастотах. В СВЧ диапазоне исследование прыжковой проводимости встречает экспериментальные трудности, связанные с необходимостью измерения слабого затухания СВЧ колебаний в высокоомных образцах. В работах [2, 3] низкотемпературная проводимость в кремнии в З-санти-метровом диапазоне СВЧ определялась по добротности моды  $TE_{011}$  объемного резонатора из меди, заполнявшегося исследуемым образцом. Из-за ограничения собственной добротности потерями в металлических стенах резонатора этот метод не позволил измерять удельную проводимость образцов, меньшую  $\sigma = 2 \cdot 10^{-6} \text{ Ом}^{-1} \cdot \text{см}^{-1}$  ( $\text{Si} \langle B \rangle, N_A = 7 \cdot 10^{15} \text{ см}^{-3}$ ). Радикальное улучшение чувствительности, в принципе, может быть получено при использовании сверхпроводящих резонаторов [4], однако такой метод пригоден лишь для температур существенно ниже  $T_c$  — критической температуры используемого сверхпроводника. Нужно отметить, что поверхностное сопротивление металлов, в том числе сверхпроводников, растет с частотой, что затрудняет использование метода объемного резонатора в миллиметровом диапазоне.

Значительное улучшение чувствительности измерений малой СВЧ электропроводности полупроводников в сантиметровом и миллиметровом диапазонах в широком интервале температур может быть получено с использованием метода диэлектрического кольцевого резонатора (ДКР), применявшегося ранее для исследования малых фундаментальных потерь в диэлектрических кристаллах [5]. Метод основан на измерении добротности азимутальных мод типа «шепчущей галереи»  $TE_{n1z}, TH_{n1z}$  в кольцевом или дисковом резонаторе, вырезанном из исследуемого образца [6, 7]. Добротность таких мод определяется, с одной стороны, диэлектрическими потерями (в полупроводнике — реальной частью электропроводности), а с другой — излучательными потерями, обусловленными конечным радиусом изгиба и рассеянием на нерегулярностях:

$$Q^{-1} = \operatorname{tg} \delta + Q_{\text{изл}}^{-1}.$$